

06.2; 06.3; 07

© 1993

БИСТАБИЛЬНЫЙ РЕЖИМ ГЕНЕРАЦИИ В КВАНТОВОРАЗМЕРНЫХ ЛАЗЕРАХ

А.А. А ф о н е н к о, В.К. К о н о н е н к о,
И.С. М а н а к

Для создания интегрально-оптических логических устройств требуются элементы, обладающие двумя устойчивыми состояниями и выполняющие функции электронного триггера, а также генераторы, излучающие незатухающие регулярные импульсы. Для этих целей используются разрезные диоды [1] и лазеры с насыщающимся поглотителем [2]. Новые возможности открываются в лазерах с квантоворазмерными слоями. Асимметричные лазерные структуры с двумя квантовыми ямами для управления длиной волны генерации с током накачки описаны в [3, 4]. В данном сообщении обсуждаются условия получения бистабильного режима генерации в результате электронно-оптического взаимодействия квантовых ям разной ширины.

Зонная диаграмма лазерного диода с асимметричной структурой показана на рис. 1. Обе квантовые ямы вместе с барьерными слоями образуют единый оптический волновод. Более широкая квантовая яма 2 находится со стороны полупроводника p -типа. Подбирая форму и размеры барьерных слоев, можно реализовать ситуацию, когда дырки инжектируются главным образом в эту яму, а попадание их в квантовую яму 1 затруднено. При этом, так как потенциал эмиттера может быть сделан выше потенциала края барьерного слоя со стороны полупроводника n -типа, электроны легко инжектируются через узкую квантовую яму 1 в яму 2. Таким образом, с помощью формы и величины потенциальных барьераов создается дисбаланс населенностей уровней подзон в квантовых ямах.

В общем случае оптические переходы в квантовых ямах 1 и 2 вызываются излучением на разных длинах волн λ_1 и λ_2 , значения которых задаются шириной и составом ям. Изменения со временем t концентраций электронов n_1 и n_2 в соответствующих квантовых ямах и плотностей фотонов S_1 и S_2 , испускаемых на длинах волн λ_1 и λ_2 описываются стандартными кинетическими уравнениями.

Когда $\lambda_2 < \lambda_1$, кинетические уравнения имеют вид

$$\frac{dn_1}{dt} = \frac{\eta'_1}{ed_1} j - \frac{R_{11}}{2\lambda_1} - \nu g_1(\lambda_1) S_1 - \nu g_1(\lambda_2) S_2, \quad (1)$$

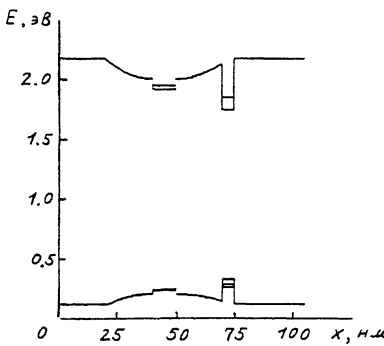


Рис. 1. Распределение энергии краев зоны проводимости и валентной зоны E по координате x в лазерной структуре с двумя квантовыми ямами разной ширины.

$$\frac{dn_2}{dt} = \frac{1 - \gamma'_1}{e d_2} j - \frac{R_{12}}{\gamma_{12}} - \nu g_2(\lambda_2) S_2, \quad (2)$$

$$\frac{dS_1}{dt} = \nu g_1(\lambda_1) S_1 - \nu k_n S_1 + \delta_1 R_{11}, \quad (3)$$

$$\frac{dS_2}{dt} = \nu g_1(\lambda_1) S_2 + \nu g_2(\lambda_2) S_2 - \nu k_n S_2 + \delta_2 (R_{11} + R_{12}). \quad (4)$$

Здесь j — плотность тока, γ'_1 определяет эффективность инжекции носителей тока в квантовую яму 1. Толщины квантоворазмерных слоев составляют d_1 и d_2 , причем $d_2 > d_1$. Значения R_{11} и R_{12} — скорости спонтанной рекомбинации в ямах 1 и 2, а γ_{11} и γ_{12} — квантовые выходы люминесценции соответственно. При расчетах полагалось $\gamma_{11} \approx \gamma_{12} \approx 1$. Вклад спонтанного излучения в лазерные моды учитывается множителями δ с соответствующими индексами. Этот вклад несуществен из-за малой величины δ .

Члены, описывающие вынужденную рекомбинацию, включают коэффициенты усиления мод $g(\lambda)$, которые представляются произведениями $\Gamma_k(\lambda)$. Параметры оптического ограничения волновода Γ_1 и Γ_2 характеризуют долю излучения, распространяющегося в 1-й и 2-й ямах соответственно, и слабо зависят от длины волны λ . Функция $k(\lambda)$ описывает спектр усиления излучения в квантоворазмерных слоях. В зависимости от уровня накачки значение

$k_1(\lambda_2)$ в 1-м слое может быть отрицательным, тогда этот квантоворазмерный слой служит поглотителем на длине волн излучения λ_2 . Потери, связанные с выходом излучения из резонатора, задаются коэффициентом потерь k_n , который в общем случае может зависеть от λ . Скорость света в кристалле обозначена v .

Ниже анализ кинетических уравнений проведен в одночастотном приближении, применимом, когда порог генерации излучения на длине волны λ , не достигается. Поэтому решаем систему уравнений (1), (2) и (4) с учетом, что S_1 пренебрежимо мало.

Как известно [1], для реализации жесткого включения генерации требуется, чтобы суммарный коэффициент усиления моды (в данном случае $g_1 + g_2$) был немонотонной функцией мощности излучения $S_2 = S$. В приближении самовозбуждения ($\delta_2 = 0$) это сводится к требованию $d(g_1 + g_2)/dS > 0$ при $S = 0$. На основании (1) и (2) для жесткого режима генерации в стационарном состоянии получаем условие

$$\gamma_{11} \frac{\dot{g}_1}{R_{11}} g_1 + \gamma_{12} \frac{\dot{g}_2}{R_{12}} g_2 < 0, \quad (5)$$

где величины с точкой обозначают производные по концентрации электронов в соответствующих квантовых ямах. Поскольку с увеличением концентраций n_1 и n_2 значения g и R_1 возрастают, то условие (5) выполняется лишь при наличии поглощения в одной из квантовых ям (в нашем случае – яма 1, $k_1(\lambda_2) < 0$).

Приближенно скорость спонтанной рекомбинации прямо пропорциональна концентрации инжектированных электронов [5, 6], поэтому можно принять $R_{1i}/\gamma_{1i} \approx n_i/\tau_i$, где τ_i характеризует время жизни носителей в i -й квантовой яме, $i = 1, 2$. Тогда условие (5) принимает следующий вид:

$$\tau_1 \dot{g}_1 g_1 + \tau_2 \dot{g}_2 g_2 < 0. \quad (6)$$

Отсюда следует, что при $\tau_1 \approx \tau_2$ значение \dot{g}_1 должно быть больше \dot{g}_2 , так как при генерации $g_1 + g_2 = k_n$. Такой режим заведомо выполняется в результате эффекта насыщения усиления в квантовой яме (в нашем случае – это яма 2, $k_2(\lambda_2) > 0$) с уровнем накачки [6].

Численные расчеты для лазерной структуры, зонная диаграмма которой показана на рис. 1, проводились в системе $GaAs-AlGaAs$. Зонные параметры гетероструктуры и оптические характеристики материалов квантовых ям и барьерных слоев брались из [6, 7].

Результаты расчетов показаны на рис. 2. Явление жесткого включения генерации (рис. 2, б) сопровождается скачкообразным изменением населенности уровней подзон в квантовых ямах (рис. 2, а). Установившийся световой поток в объеме лазера вызывает насыщение поглощения в узкой яме и рост концентрации

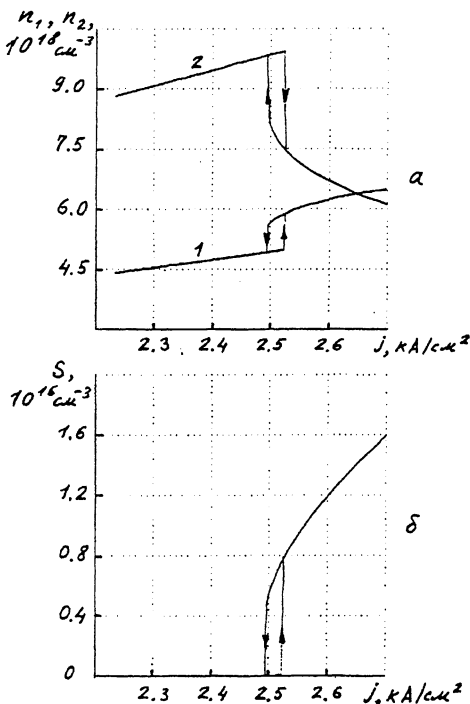


Рис. 2. Изменение стационарных значений концентраций электронов n_1 и n_2 в квантовых ямах 1 и 2 (а) и плотности фотонов (б) в зависимости от плотности тока накачки j .

электронов n_1 (кривая 1). При этом усиление в широкой яме тоже насыщается и концентрация n_2 падает (кривая 2). Срыв генерации с уменьшением тока накачки происходит при токе, меньшем чем ток включения лазера, т.е. наблюдается гистерезис ватт-амперной характеристики. По сравнению с известной „продольной“ схемой получения жесткого режима генерации в лазерных диодах [1, 2] рассмотренный выше способ в квантоворазмерных лазерах можно отнести к „параллельной“ схеме для наблюдения эффектов переключения.

Наряду со стационарным решением, кинетические уравнения (1)–(4) допускают неустойчивое решение – режим незатухающих регулярных пульсаций излучения. Детальный анализ устойчивости возможных решений по Ляпунову показывает, что на возрастающей ветви зависимости $\mathcal{G}_1 + \mathcal{G}_2$ от S решение всегда неустойчиво, так же как и в [1]. На спадающей ветви зависимости суммарного усиления $\mathcal{G}_1 + \mathcal{G}_2$ от плотности фотонов S условие устойчивости стационарного решения в приближении времени жизни сводится практически к неравенству

$$\left(\frac{1}{\tau_1} + \nu \dot{g}_1 S\right) \dot{g}_1 g_1 + \left(\frac{1}{\tau_2} + \nu \dot{g}_2 S\right) \dot{g}_2 g_2 > 0. \quad (7)$$

Если условия (6) и (7) удовлетворяются одновременно, то осуществляется бистабильный режим работы лазера. При нарушении неравенства (7) после переключения лазера стационарное значение S не устанавливается, а происходят регулярные незатухающие пульсации.

Приведенная на рис. 1 схема лазерной структуры наиболее оптимальна для наблюдения бистабильного переключения. Путем подбора электрофизических и оптических параметров асимметричных лазерных структур с квантовыми ямами можно реализовать тот или иной режим генерации.

Данная работа выполнена при поддержке Фонда фундаментальных исследований Республики Беларусь.

С п и с о к л и т е р а т у р ы

- [1] М о р о з о в В.Н., Н и к и т и н В.В., С а м о й л о в В.Д. // ЖЭТФ. 1968. Т. 55. В. 5. С. 1619–1625.
- [2] А в р у т и н Е.А., П о р т н о й Е.А., Ч е л н о к о в А.В. // Письма в ЖТФ. 1991. Т. 17. В. 11. С. 49–54.
- [3] I k e d a S., S h i m i z u A. // Appl. Phys. Lett. 1991. V. 59. N 5. P. 504–506.
- [4] К о н о н е н к о V.K. // Topical Meeting on Photonic Switching: Tech. Digest. Minsk, 1992. Р. 2J1.
- [5] Х а л ф и н В.Б., К р а с о в с к и й В.В., Г а р б у з о в Д.З. // ФТП. 1986. Т. 20. № 10. С. 1816–1822.
- [6] К о н о н е н к о В.К. Оптические свойства гетероструктур с квантоворазмерными слоями. Препринт / Ин-т физики АН БССР: 492. Минск, 1987.
- [7] К о н о н е н к о V.K., Z a k h a r o v a I.S. Laser parameters of quantumwell heterostructures. Preprint/ICTP:1C/91/63. Trieste, 1991.

Институт физики им. Б.И. Степанова
АН Беларуси, Минск;
Белорусский государственный
университет, Минск

Поступило в Редакцию
13 апреля 1993 г.